

УДК 551.510:523

СВЯЗЬ ВАРИАЦИЙ ХАРАКТЕРИСТИК ВЫСОКОШИРОТНОЙ ИОНОСФЕРЫ С МАГНИТНЫМИ PC ИНДЕКСАМИ

© 2012 г. В. Я. Вовк, Л. В. Егорова

ГУ “Арктический и Антарктический научно-исследовательский институт”, г. Санкт-Петербург

e-mail: eglar@aari.nw.ru

Поступила в редакцию 13.09.2010 г.

После доработки 08.04.2011 г.

При совместном анализе данных вертикального зондирования ионосферы арктической ст. о-в Хейса, антарктической ст. “Восток” и геомагнитного индекса PC , характеризующего геоэффективную составляющую межпланетного магнитного поля, показано, что в возмущенный геомагнитный период, когда $PC > 2$ в годы максимума солнечной активности (СА) в зимний сезон наблюдаются, преимущественно, положительные фазы ионосферных возмущений. В ночные часы может происходить увеличение критических частот f_0F2 в 2–3 раза. В возмущенный геомагнитный период при уровне $PC > 1.5$ в летний сезон наблюдаются, главным образом, отрицательные фазы ионосферных возмущений. В годы максимальной и умеренной СА уменьшение f_0F2 по сравнению с их медианными значениями составляет в ночное время ~30%. В годы низкой СА величина уменьшения значительно слабее. При значительном понижении уровня PC индекса в районе геомагнитного полюса на ст. “Восток”, в отдельных случаях, происходит заметное увеличение уровня электронной плотности в F -области с запаздыванием в 0.5 ч, при этом между вариациями PC индекса и f_0F2 наблюдается значимая корреляционная связь ($r = -0.57$).

1. ВВЕДЕНИЕ

На процесс ионизации в верхней атмосфере большое влияние оказывает волновая радиация Солнца в широком диапазоне длин волн. Излучение на длине волны $L = 121$ нм, например, влияет на ионизацию в D -области ионосферы. Считается, что ионизация спокойной области E создается рентгеновским излучением в диапазоне $L = 10$ –100 нм. Источником ионизации F -области считается излучение с длиной волн в единицы нм, а также в 20–35 нм. Рентгеновское излучение подвержено значительным вариациям во времени, что влияет на изменение уровня электронной концентрации в ионосфере [Дэвис, 1973].

На рисунке 1, в качестве примера, приведены вариации уровня рентгеновского излучения 25–27 апреля 2004 г. для длины волны $L = 7$ нм (рис. 1a) и 11–13 сентября 2004 г. для $L = 121$ нм (рис. 1b). Видно, что уровень рентгеновского излучения, влияющего на ионизацию F -области, за период менее 20-ти часов, начиная с 30-го часа, уменьшается в 2.5 раза, а затем снова возрастает в течение 10-ти часов, [http://lasp.colorado.edu/sorce/data/ssi.data.html], 2006.

Вторым важным фактором, влияющим на уровень электронной концентрации в высокоширотной ионосфере, является энергия солнечного ветра и, связанные с ним, магнитно-ионосфер-

ные возмущения. Отрицательные фазы ионосферных возмущений, проявляющиеся в уменьшении электронной плотности в F -области ионосферы, а значит и уменьшении критических частот f_0F2 при вертикальном зондировании (ВЗ), связывают с уменьшением нейтральной компоненты на высотах ионосферы. При этом уменьшается отношение O/N_2 , которое в условиях фотохимического равновесия пропорционально концентрации электронов [Danilov, 2001]. Вопрос, касающийся положительных фаз возмущений и, соответственно, увеличения электронной концентрации относительно среднего уровня, проявляющегося в увеличении критических частот f_0F2 , изучен недостаточно. В качестве возможных источников положительных возмущений вариаций электронной плотности предлагаются потоки электронов и протонов в области каспа, а также дрейф F -области под действием циркуляции. Отмечены различия вероятности проявления положительных возмущений в зависимости от сезона и широты наблюдения. В частности, на приполюсной ст. Резолют Бэй, $\Phi_o = 83.07^\circ$, в зимний сезон вероятность появления положительной фазы ионосферного возмущения, сменяющейся отрицательной, в десять раз выше, чем в приэкваториальной области, ст. Уанкайо, $\Phi_o = -0.59^\circ$ [Данилов и Морозова, 1987].

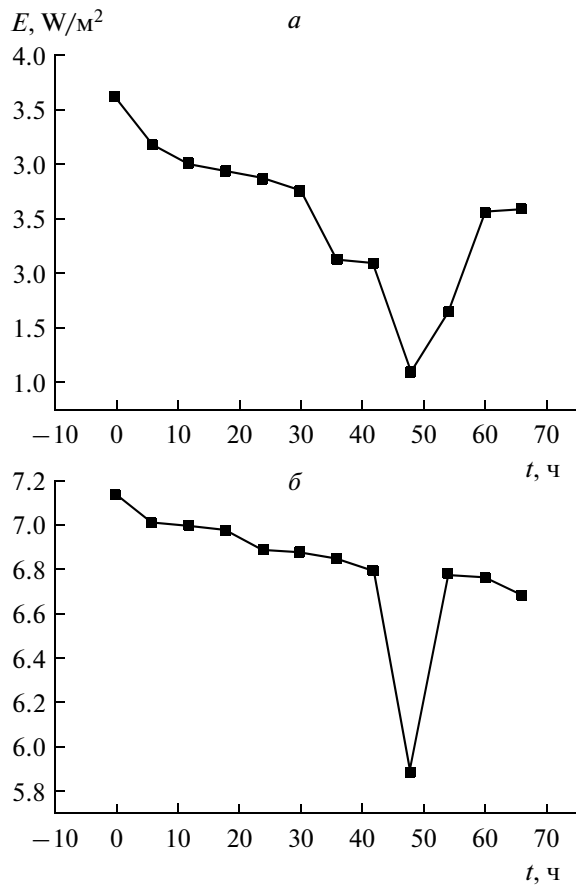


Рис. 1. Вариации уровня рентгеновского излучения: *a* – для длины волны $L = 7 \text{ нм}$ 25–27 апреля 2004 г.; *б* – $L = 121 \text{ нм}$, 11–13 сентября 2004 г.

В периоды магнитно-ионосферных возмущений методом наклонного обратного рассеяния (НОР) также наблюдаются перемещающиеся ионосферные возмущения (ПИВ), которые являются ионосферным проявлением внутренних атмосферных гравитационных волн (АГВ) в атмосфере. Для крупномасштабных ПИВ характерны периоды 0.5–3 ч и горизонтальные скорости 400–1000 км/час. Среднемасштабные ПИВ имеют периоды 15–45 мин. Подобные возмущения при регистрации методом вертикального зондирования будут проявляться как изменения критической частоты $F2$ -слоя [Благовещенская и др. 1997].

2. ОЦЕНКА УРОВНЯ ЭЛЕКТРОННОЙ ПЛОТНОСТИ В F -ОБЛАСТИ СЕВЕРНОЙ И ЮЖНОЙ ПОЛЯРНОЙ ИОНОСФЕРЫ В ЗИМНИЙ СЕЗОН ГОДА МАКСИМУМА СА

Для оценки вариаций электронной плотности $F2$ -слоя в зависимости от изменения геомагнитной обстановки были взяты данные $f0F2$ на при-

полюсной ст. о-в Хейса ($\Phi_0 = 80^\circ$) и южнополярной ст. “Восток” ($\Phi_0 = 78^\circ$). Рассматривались данные ВЗ в годы максимальной – 1979 г., средней – 1978 г. и низкой – 1976 г. СА. Надо отметить, что точно снять критическую частоту $f0F2$ на ст. “Восток” часто затруднительно из – за наличия рассеяния, поэтому для оценки уровня электронной концентрации в F -области ионосферы была выбрана максимальная частота F -рассеяния, которую в дальнейшем будем обозначать $fF2$. На рисунке 2 приведены, в качестве примера, 15-минутные вариации частот $fF2$ на ст. “Восток” (снизу) и соответствующие им 15-минутные изменения PC индекса, характеризующего геоэффективную часть межпланетного магнитного поля (ММП), [Janzhura et al., 2007] (сверху). Видно, что на рис. 2 a и 2 b кривые значений $fF2$ и PC индекса изменяются в фазе, а на рис. 2 c – в противофазе. Иными словами, изменению PC индекса может соответствовать как увеличение электронной плотности в ионосфере, так и ее уменьшение в зависимости от конкретных условий.

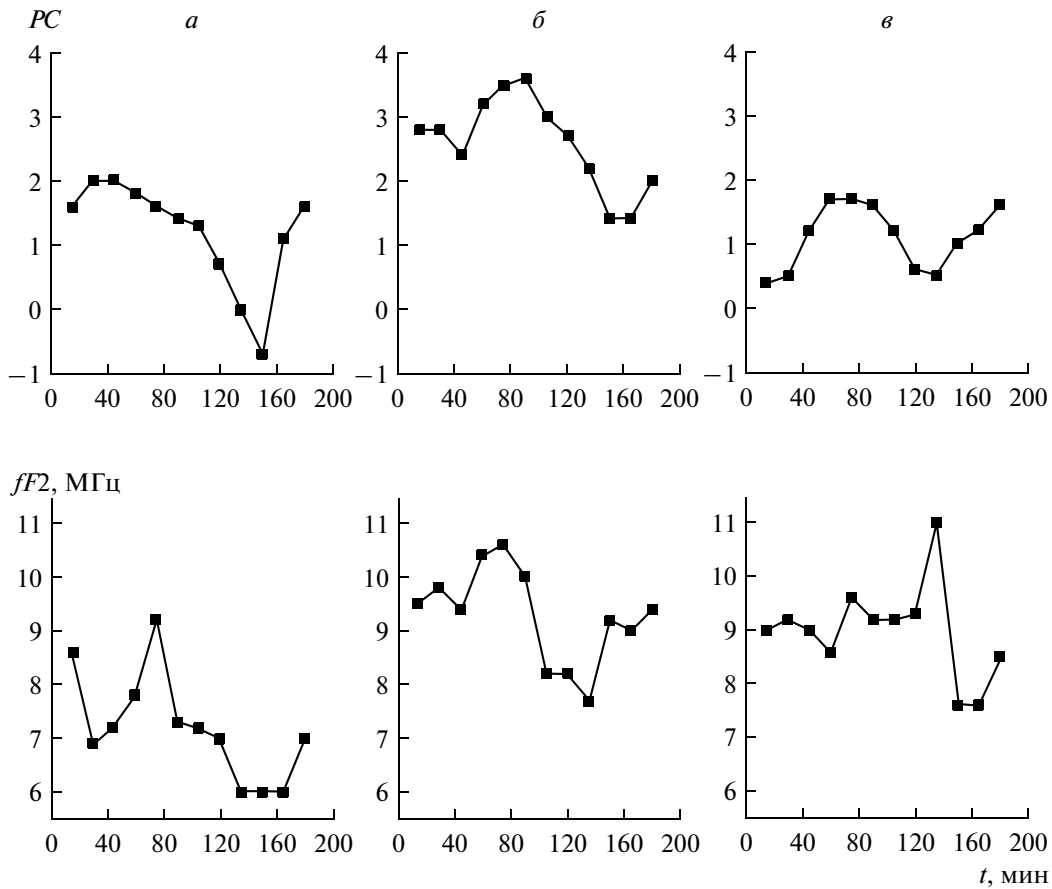


Рис. 2. Вариации 15-минутных значений PC индекса (сверху) и соответствующих им критических частот $B3 f_{F2}$ на ст. “Восток” (снизу): а – 12 LT 12.08; б – 02 LT 19.08; в – 09 LT 28.08.1979 г.

Для оценки корреляционной связи между вариациями PC индекса, и вариациями электронной концентрации в F -области ионосферы на ст. “Восток”, были взяты данные за период магнитной бури, начавшейся 13.08.1979 г. в 13 ч UT, при чем уровень максимума Dst индекса составил -65 . На рисунке 3а приведены вариации PC индекса (кривая 1) и f_{F2} (кривая 2) за 6 ч, на рис. 3б и 3в – регрессионные прямые зависимости между данными PC и f_{F2} : 3б – для одномоментных измерений; 3в – когда измерения f_{F2} запаздывают относительно PC на 0.5 ч. На рисунке 3г представлены соответствующие ежечасные значения Dst с 11 по 16 UT. Для одномоментных измерений коэффициент корреляции невысок, $r = -0.43$, а с учетом получасового запаздывания частот $B3$ относительно PC индекса получается значимый коэффициент корреляции, $r = -0.57$. В этом случае уменьшение PC индекса с 7 до 3 опережает увеличение критической частоты $B3$ с 4.5 до 9 МГц, а значит и рост электронной концентрации в F -области, на полчаса.

Для статистической оценки вариаций уровня электронной концентрации в возмущенный геомагнитный период ($PC > 2$) и сравнения их со спокойным уровнем, когда $PC < 1$, были взяты ежечасные данные суточных вариаций f_{F2} в зимний сезон (февраль 1979 г.) на о-ве Хейса, а также f_{F2} в зимний сезон южнополярной ст. “Восток” – август 1979 г. На рисунке 4а приведен усредненный суточный ход ежечасных данных PC индекса с уровнем $PC > 2$ для августа 1979 г. (сверху), а снизу – соответствующие им данные f_{F2} (кривая 1), а также данные, соответствующие спокойному уровню (кривая 2) ст. “Восток”. Видно, что в ночные часы 21-06 LT возмущенный уровень частот значительно превышает средний спокойный уровень. Максимальное различие 2.5 МГц наблюдается в 03 LT. В полуденные часы это различие заметно уменьшается. Возможно, это связано с различиями в характере высыпаний частиц в течение суток. Роль волновой радиации в период полярной ночи представляется менее значимой. На рисунке 4б приведен усредненный суточный ход PC индекса

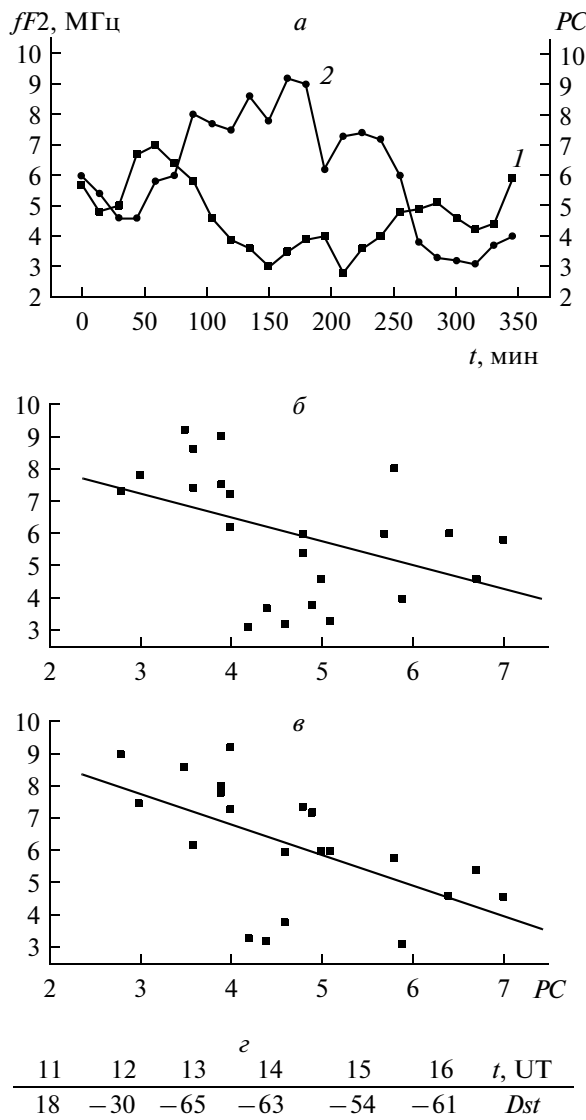


Рис. 3. Ход вариаций PC индекса и максимальной частоты F -рассеяния $fF2$ 13.08.1979 г. на ст. Восток – a ; кривые регрессионной зависимости между ними, одномоментные значения – b ; при запаздывании $fF2$ на 0.5 ч – c ; ежечасные значения Dst за период с 11 до 16 UT – g .

(сверху) и соответствующий ход f_0F2 (кривая 1) в возмущенный период февраля 1979 г., а также февральская медиана (кривая 2) для северного полушария (снизу). В целом, средний возмущенный уровень в феврале превышает величину $PC = 2.5$. Характер суточных вариаций частот ВЗ на приполюсной ст. о-в Хейса сильно отличается от вариаций южнополярной ст. “Восток” в соответствующий зимний сезон. На о-ве Хейса так же, как и в южном полушарии, наблюдаются положительные ионосферные возмущения, но они значительно больше по амплитуде. В 10 ч возмущенный уровень критических частот f_0F2 в три раза выше невозмущенного, а это значит, что уровень электронной плотности, пропорциональ-

ный квадрату частоты, более чем в 9 раз превышает спокойный уровень. Возможно, что это вызвано мощными выбросами электронов и протонов широкого спектра энергий в область полярного каспа с последующим разогревом атмосферы и изменением ветровых характеристик, [http://lasp.colorado.edu./sorce/data/ssi.data.htm], 2006. Связь повышенного уровня геомагнитной активности по данным PC индекса с уровнем критических частот ВЗ в области полярной шапки может быть применена для диагностики характеристик полярной ионосферы с использованием упомянутых наблюдений ВЗ и соответствующих им данных PC индекса.

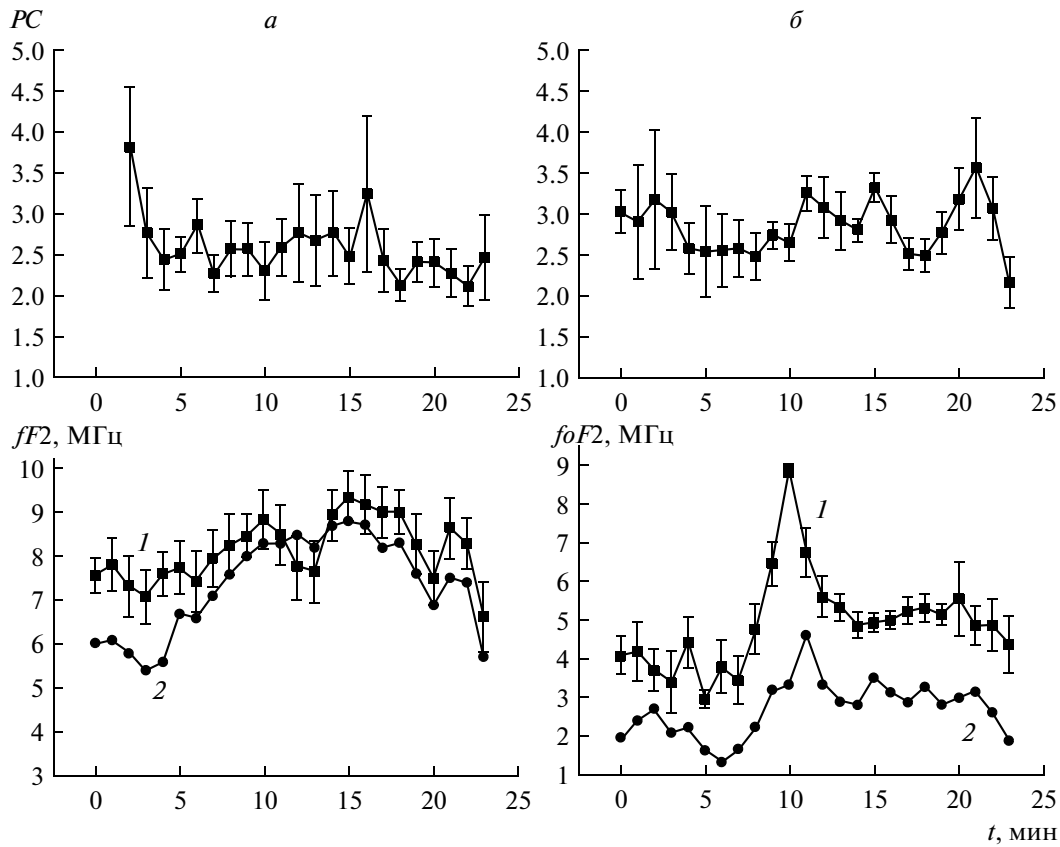


Рис. 4. Усредненный суточный ход значений PC индекса для возмущенного уровня $PC > 2$ – сверху и соответствующих критических частот $foF2$ (кривая 1) и их медиан (кривая 2) – снизу: *а* – в августе 1979 г. на ст. “Восток”; *б* – в феврале 1979 г. на о-ве Хейса.

3. ОЦЕНКА ЗНАЧЕНИЙ ЭЛЕКТРОННОЙ ПЛОТНОСТИ ОБЛАСТИ F ПОЛЯРНОЙ ИОНОСФЕРЫ ЛЕТНЕГО СЕЗОНА В ГОДЫ РАЗНОГО УРОВНЯ СА

Для оценки уровня электронной концентрации F -области в спокойный и возмущенный периоды геомагнитной активности летнего сезона были выбраны данные ВЗ ст. о-в Хейса для трех уровней СА: $W = 2$, (июль 1976 г.), $W = 60$, (август 1978 г.), $W = 150$, (июнь 1979 г.). На рисунке 5 слева приведены усредненные значения частот $foF2$ суточного хода для трех вышеуказанных уровней СА, для событий, при которых $PC > 1.5$ (кривая 1), и медианные значения, соответствующие спокойному уровню $PC < 1$, (кривая 2). В качестве критерия возмущенных условий использовались данные уровня $PC > 1.5$. Критерий был снижен по сравнению с зимним периодом года высокой СА потому, что при низкой СА недостаточно данных ВЗ при $PC > 2$. Справа на рис. 5 приведены соответствующие кривые суточного хода PC . Видно, что в год максимума СА, $W = 150$, спокойный уровень $foF2$ на 45% выше (рис. 5 a), чем в год минимума $W = 2$ (рис. 5 b), когда вариации частот в

суточном ходе незначительны и составляют 3.7–4.3 МГц. Уровень освещенности по-разному влияет на процесс ионизации в спокойный геомагнитный период при разных градациях СА. При всех уровнях СА наблюдается различное понижение электронной плотности в разные часы суток возмущенного периода относительно медианы. Наибольшая разница между уровнем $foF2$ и медианой наблюдается при средней СА, она равна, приблизительно, 1.5 МГц почти все сутки, за исключением утренних часов 03–07 LT, рис. 5 b , слева. При высокой СА наибольшее отличие наблюдается ночью в 21–02 LT и составляет также 1.5 МГц, рис. 5 a . В год низкой СА вариации $foF2$ лежат в пределах 3.2–4.1 МГц, это несколько ниже, чем в спокойный период, в послеполуденное время 14–21 LT это отличие достигает 0.6 МГц. Выявленное понижение электронной плотности области F в возмущенный геомагнитный период согласуется с данными работы [Данилов и Морозова, 1987], где показано, что летом на приполярной ст. Резольют–Бэй число ионосферных возмущений с положительной фазой уменьшается на порядок по сравнению с зимним сезоном.

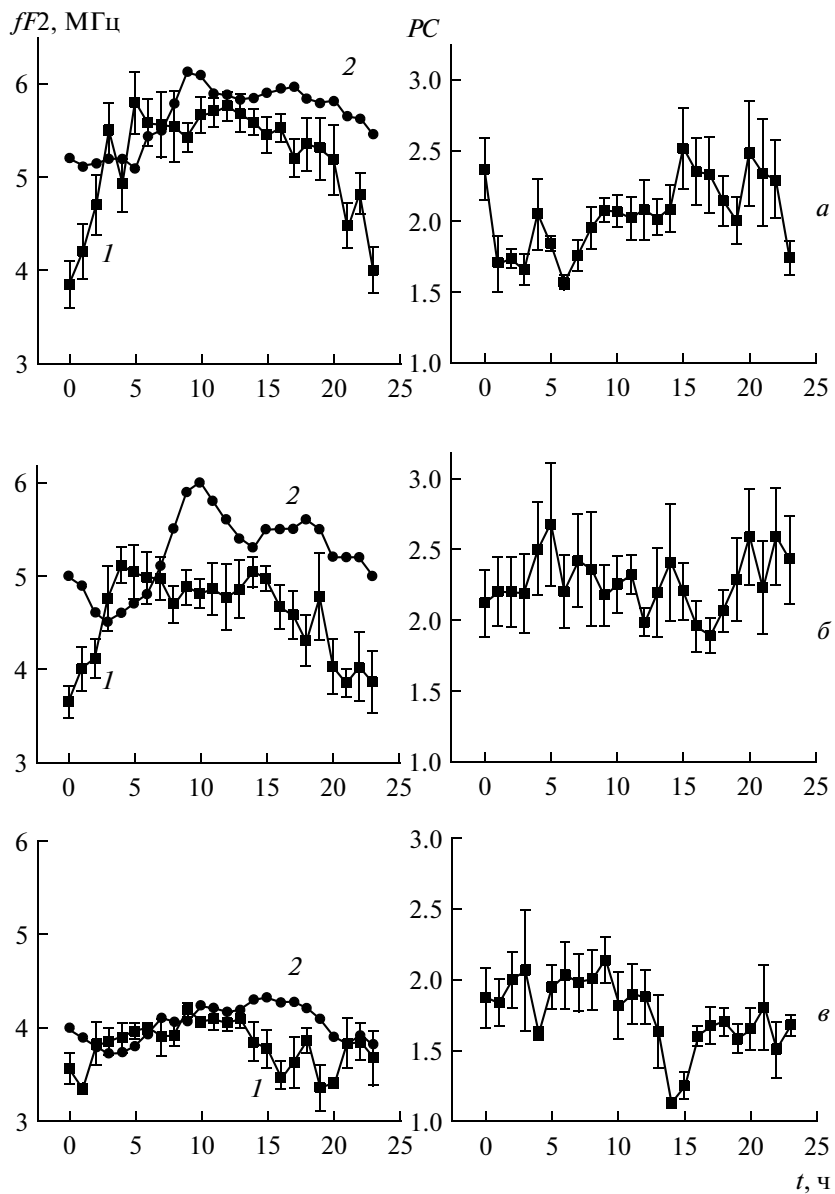


Рис. 5. Усредненный суточный ход критических частот f_{F2} (кривая 1) и его медианных значений (кривая 2) на о-ве Хейса — слева и соответствующий ход возмущенного уровня $PC > 1.5$ — справа для трех градаций солнечной активности: *а* — июнь 1979 г., $W = 150$; *б* — август 1978 г., $W = 60$; *в* — июль 1976 г., $W = 2$.

4. ВЫВОДЫ

Анализ 15-минутных данных ВЗ показал, что в периоды геомагнитных возмущений усилиению вариаций уровня PC индекса соответствуют значимые изменения электронной плотности в F -области полярной ионосферы, что проявляется в увеличении вариаций критических частот f_{F2} на ст. “Восток”. Изменение уровня электронной плотности в F -области в связи с понижением уровня PC индекса происходит с запаздыванием в 0.5 ч, при этом между вариациями PC индекса и f_{F2} наблюдается значимая корреляционная связь ($r = -0.57$).

В возмущенный геомагнитный период ($PC > 2$) года максимума СА на высоких широтах станциях “Восток” и о-в Хейса в зимний сезон наблюдаются преимущественно положительные фазы ионосферных возмущений. В ночные часы может происходить увеличение критических частот в 2–3 раза.

В возмущенный геомагнитный период при уровне $PC > 1.5$ в летний сезон в высоких широтах ионосфере по усредненным данным наблюдаются, главным образом, отрицательные фазы ионосферных возмущений. В год максимума СА уменьшение критических частот f_{F2} в ночные

часы составляет, в среднем, 30%, в полуденные – ~7% относительно медианы. В годы умеренной СА это уменьшение составляет ~30% в течение всех суток, за исключением утренних часов. При низкой СА величина уменьшения f_0F2 утром и днем не превышает 5, вечером – 15%.

СПИСОК ЛИТЕРАТУРЫ

- Благовещенская Н.Ф., Вовк В.Я., Корниенко В.А., Москвин И.В. Волновые процессы в высокоширотной ионосфере по данным комплекса радиофизических наблюдений // Геомагнетизм и аэрономия. Т. 37. № 5. С. 70–78. 1997.
- Данилов А.Д., Морозова Л.Д. Ионосферные бури. Морфология, физика, прогноз // Ионосферно-магнитная служба/ Ред. С.И. Авдюшин, А.Д. Данилов. Л.: Гидрометеоиздат. 244 с. 1987.
- Дэвис К. Радиоволны в ионосфере. М.: Мир. 502 с. 1973.
- Danilov A.D. F2- region response to geomagnetic disturbances //J. Atmos. Solar-Terr. Phys. V. 63. № 2. P. 441–449. 2001.
- http://lasp.colorado.edu./sorce/data/ssi.data.htm. 2006.
- Janzhura A., Troshichev O., Stauning P. Unified PC indices: Relation to the isolated substorms // J. Geophys. Res. V. 112. A09207. doi:10.1029/2006JA012132. 2007.